

ارزیابی تاثیر جایگزینی کدون‌های نادر با کدون‌های بهینه در ناحیه شروع ترجمه ژن فاکتور رشد فیبروبلاستی بازی انسانی (*hbfgf*) بر میزان بیان این فاکتور در باکتری اشرشیا کلی

مهری عابدی خلیل آباد^{۱*}، حسن میرزاحسینی^۲، غلامرضا جوادی نیا^۳

۱- دانشجوی کارشناسی ارشد میکروبیولوژی، گروه زیست شناسی، دانشکده علوم پایه، دانشگاه آزاد اسلامی، واحد علوم و تحقیقات تهران

۲- استادیار، بخش بیوتکنولوژی، انستیتو پاستور ایران

۳- دانشیار ژنتیک انسانی، گروه زیست شناسی، دانشکده علوم پایه، دانشگاه آزاد اسلامی، واحد علوم و تحقیقات تهران

محل انجام تحقیق: انستیتو پاستور ایران، بخش بیوتکنولوژی

*مسئول مکاتبات: مهری عابدی خلیل آباد، گروه زیست شناسی، دانشکده علوم پایه، دانشگاه آزاد اسلامی واحد علوم و تحقیقات تهران، تلفن:

۰۹۱۲۸۱۵۵۴۷۹، پست الکترونیکی: mehr_abedi@yahoo.com

تاریخ پذیرش ۸۸/۱/۲۵

تاریخ دریافت: ۸۷/۹/۱۴

چکیده

میزان بیان پروتئین‌های نوترکیب در باکتری اشرشیا کلی تحت تاثیر عوامل مختلفی قرار می‌گیرد، یکی از مهم‌ترین عوامل، وجود کدون‌های نادر است. دیده شده است که جایگزینی کدون‌ها در ناحیه شروع ترجمه ژن به شدت بر میزان بیان پروتئین‌های خارجی در باکتری اشرشیا کلی تاثیر می‌گذارد. هدف از این تحقیق ارزیابی تاثیر جایگزینی کدون‌های نادر ناحیه شروع ترجمه ژن فاکتور رشد فیبروبلاستی بازی انسانی (*hbfgf*) با کدون‌های بهینه، بر میزان بیان این فاکتور در باکتری اشرشیا کلی است. بدین منظور ۵ کدون از کدون‌های نادر ناحیه شروع ترجمه با کدون‌هایی با فراوانی بیشتر جایگزین شدند. ژن تغییر یافته در پلاسمید بیانی ساب کلون شد و ساختار حاصل به داخل سه سویه از باکتری اشرشیاکلی ترنسفورم شد. سویه‌های حامل پلاسمید نوترکیب جهت بیان پروتئین مورد نظر القا شدند. در پایان میزان بیان این فاکتور با استفاده از تکنیک‌های مختلف اندازه‌گیری و با میزان بیان سویه‌های حامل پلاسمید دارای ژن وحشی مقایسه شد. تفاوت قابل توجهی در میزان بیان ژن موتانت در مقایسه با ژن وحشی مشاهده شد. این اختلاف فاحش مشاهده شده در میزان بیان ژن موتانت و وحشی موید تاثیر تغییرات ناحیه شروع ترجمه بر میزان بیان این پروتئین نوترکیب در باکتری اشرشیا کلی بود به گونه‌ای که حتی یک تغییر جزئی در تعداد کمی از کدون‌ها منجر به یک تغییر شدید در میزان بیان فاکتور رشد فیبروبلاستی بازی انسانی نوترکیب گردید. در مجموع نتایج حاصل بیانگر نقش کلیدی توالی نوکلئوتیدی انتهای N - ترمینال ژن *hbfgf* از طریق تاثیر مستقیم آن بر ساختار دوم mRNA در ناحیه شروع ترجمه بود، بطوریکه تغییرات اعمال شده در این توالی منجر به ایجاد ساختارهای ثانویه پایدار در ناحیه شروع ترجمه mRNA و در نتیجه کاهش کارایی ترجمه این پروتئین نوترکیب گردید.

کلمات کلیدی: فاکتور رشد فیبروبلاستی بازی انسانی، ناحیه شروع ترجمه، کدون‌های نادر، کدون‌های بهینه

ژن آن روی کروموزوم ۴ باند q26-q27 قرار گرفته و

بیش از ۳۶ کیلو جفت باز طول دارد (۲، ۱). این ژن

واجد ۳ اگزون است که بوسیله ۲ اینترون ۱۶ و ۱۷،۵

مقدمه

فاکتور رشد فیبروبلاستی بازی انسانی عضوی از خانواده فاکتورهای رشد فیبروبلاستی است که لوکوس

(اشرشیا کلی) افزایش داد گام بزرگی در جهت تحقق اهداف علوم زیستی مختلف خواهد بود.

از جمله راهکارهای افزایش میزان بیان یک پروتئین نوترکیب در *E. coli* می توان به مواردی همچون تعویض پروموتور، تغییرسکانس شروع ترجمه یا جایگاه اتصال به ریبوزوم (= ribosome binding site) (rbs)، افزایش میزان پایداری ساختمان ثانویه mRNA مثلاً از طریق فیوز کردن ژن مربوطه با یکی از ژنهای میکروارگانسیم، افزایش تعداد پلاسمیدها، افزایش gene dosage، افزایش پایداری پلاسمیدها، تهیه فیوزن پروتئین، کاهش محتوای GC، لحاظ کردن Codon Usage (تغییر کدونها بر اساس tRNA غالب در میکروارگانسیم حامل) و حذف محدود کدون های نادر اشاره کرد. این پژوهش به بررسی تاثیر جایگزینی کدون های نادر ناحیه شروع ترجمه ژن فاکتور رشد فیبروبلاستی بازی انسانی (*hbgf*) با کدون های بهینه، بر میزان بیان این فاکتور درباکتری اشرشیا کلی می پردازد. تا کنون مطالعات زیادی در زمینه جایگزینی کدونهای نادر در ژنهای مختلف انجام شده است که از آن جمله می توان به مواردی همچون جایگزینی کدون های نادر اسید آمینه آرژنین در موقعیتهای هشتم و نهم cDNA پروتئین تروپونین I ماهیچه اسکلتی مرغ (۸)، جایگزینی کدونهای نادر ۸۸ کدون آغازین ژن زیر واحد آلفای پروتئین فانتزیل ترنسفرز (FTPase) (۹)، جایگزینی ۵ کدون نادر در ژن وحشی آنتی ژن 85B مایکوباکتریوم توبرکلوزیس (۱۰) و جایگزینی دو کدون نادر انتهای 5' ژن *Sso_gnaD* از باکتری سولفولوبوس سولفاتاریکوس (۱۱) اشاره کرد.

مواد و روش ها

طراحی پرایمر

به منظور جانمایی کدون های نادر با کدون های بهینه در cDNA ژن فاکتور رشد فیبروبلاستی بازی

کیلو جفت بازی از یکدیگر جدا افتاده اند (۳). نواحی بزرگ غیر کدکننده ای در هر دو طرف 3' و 5' ژن شناسایی شده اند که مربوط به تنظیم این ژن در مرحله رونویسی و ترجمه می باشند (۴). وجود چند کدون CUG در بالادست کدون اصلی شروع AUG باعث ترجمه چندین ایزوفرم دیگر فاکتور رشد فیبروبلاستی با وزن مولکولی بالاتر، از تنها یک نوع mRNA می شوند (۵). ایزوفرمهای سنگین bFGF یعنی ایزوفرمهای ۳۴، ۲۴، ۲۲/۵، ۲۲ و ۲۲/۵ کدکننده nuclear localizing (nls) می باشند که هدایت کننده این فاکتور به داخل هسته است. در حالی که ایزوفرم ۱۸ KD فاقد این سکانس بوده و الزاماً محل تجمع و فعالیت آن سیتوپلاسم می باشد (۶). هیچ یک از ایزوفرمهای FGF-2 دارای پپتید راهنما یا توالی پیام (Signal Sequence) نمی باشند با این حال ثابت شده که انواع سلولهای تولیدکننده ایزوفرم ۱۸ KD قادر به ترشح این فاکتور به فضای خارج سلولی از طریق مکانیسمهای تاکنون ناشناخته می باشند (۷). هپارین تمایل زیادی برای اتصال به این فاکتور دارد و ضمن حفاظت آن از خطر پروتئازها و دناتوره شدن در تنظیم فعالیتهای آن نیز نقش فعال دارد (۶). این عامل رشد در سلولها و بافتهای مختلف دارای نقش های متعدد موتوژنیک (motogenic)، رگ زایی (angiogenic) و بقا (survival) می باشد. در نتیجه می توان دخالت این فاکتور را در بعضی پدیده های زیستی مثل تکامل جنینی، مراحل نمو، بهبود زخمها، تومور زایی، مهاجرت و تمایز سلولی مشاهده نمود (۷). این پروتئین (ایزوفرم ۱۸ KD) به دلیل پتانسیل های کاربردی مختلف، در صنایع دارویی مورد توجه خاصی قرار گرفته است اما تخلیص این هورمون از منابع طبیعی آن مانند سلولهای اندوتلیال اولیه، فیبروبلاستها، سلولهای گلیایی و سلولهای ماهیچه صاف مقرون به صرفه نیست، لذا دستیابی به روشهایی که بتوان بوسیله آنها میزان بیان و تولید این فاکتور را به عنوان یک پروتئین نوترکیب در باکتری میزبان

hbfgf بود که تغییرات مورد نظر در ۱۲ کدون ابتدایی آن اعمال شد، به این صورت که ۵ کدون از این ۱۲ کدون نادر بوده و با کدون های بهینه مربوط به آنها جانشین شدند. پرایمر طراحی شده جهت سنتز به شرکت MWG-Biotech کشور آلمان سفارش داده شد. کدون ها نادر و بهینه و اسید آمینه های مربوط به آنها در جدول ۱ نشان داده شده اند.

جدول ۱. کدون ها نادر و بهینه و اسید آمینه های آنها

تعداد کدون	کدون نادر	کدون بهینه	اسید آمینه
۴ و ۱	CCC	CCG	Pro
۸	GGA	GGC	Gly
۹	TCG	TCT	Ser
۱۲	ATA	ATC	Ile

تغییر یافته بصورت زیر خط دار و نوکلئوتیدهای تغییر داده شده آنها پررنگ تر نشان داده شده اند.

5'-TA-CAT-ATG-CCC-GCC-TTG-CCC-GAG-GAT-GGT-GGA-TCG-GGC-GCC-ATA-CCG-CCC-GGC-CAC-TTC-3'
Nde I

5'-TA-CAT-ATG-CCG-GCC-TTG-CCG-GAG-GAT-GGT-GGC-TCT-GGC-GCC-ATC-CCG-CCC-GGC-CAC-TTC-3'
Nde I

جایگاه برش آنزیم محدودالایتر Bgl II بوسیله تکنیک نامبرده در آن قرار داده شده بصورت زیر می باشد:

5'-TAC-TAT-TAG-ATC-TTG-GCC-ATT-AAA-ATC-AGC-3'

Bgl II

گرادیانت، ۶ انتخاب شد. پس از یک دناتوراسیون ۵ دقیقه ای در دمای ۹۵ درجه سانتیگراد، ۳۰ چرخه شامل دناتوراسیون ۴۵ ثانیه ای در دمای ۹۵، Annealing ۴۰ ثانیه ای در دماهای

انسانی، از تکنیک Site Directed Mutagenesis که نوعی موتاسیون زایی بر پایه PCR است استفاده شد. توالی نوکلئوتیدی پرایمر پیش رونده (Forward) طراحی شده برای این PCR از دو بخش تشکیل شده بود؛ بخش اول در انتهای ۵' شامل جایگاه برش آنزیم محدودالایتر Nde I بود که توالی نوکلئوتیدی آن عبارتست از CATATG و بخش دوم شامل ۱۷ کدون ابتدایی ناحیه N - ترمینال cDNA ژن

۱۷ کدون ابتدایی ناحیه N - ترمینال cDNA ژن *hbfgf* و توالی پرایمر پیش رونده (Forward) طراحی شده در زیر نشان داده شده است، کدون های

توالی پرایمر Reverse (معکوس رونده) (ساخت انسیتو Bioorganic Chemistry، مسکو) نیز که

Site Directed mutagenesis

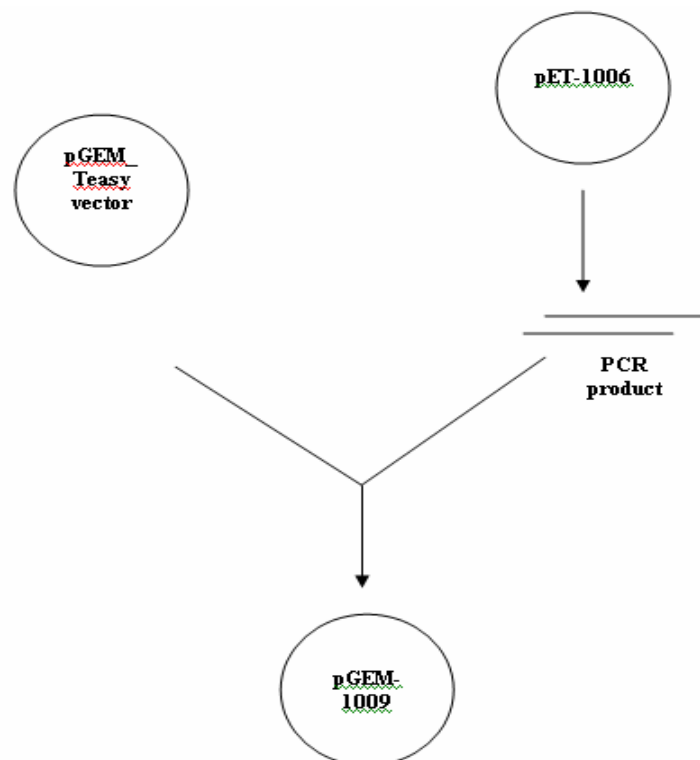
به منظور دستیابی هر چه سریعتر به مناسب ترین دمای اتصال (Annealing)، از دستگاه PCR گرادیانت استفاده شد، در این مطالعه دمای Annealing پایه، ۶۵ درجه سانتیگراد و عدد

شوند. از طرف دیگر به دلیل استفاده از آنزیم Taq DNA polymerase در واکنش PCR، محصول PCR دارای دو انتهای چسبنده (3'A) است که به نوکلئوتید A ختم می شود زیرا این آنزیم در پایان پلیمریزاسیون، یک نوکلئوتید A اضافی را به انتهای رشته سنتز شده می افزاید، لذا به راحتی می توان محصول PCR با این آنزیم را در pGEM-Teasy vector کلون کرد. ساختار حاصل که pGEM-1009 نامگذاری شد در باکتری اشرشیا کلی سویه Top10f⁺ (Invitrogen) ترانسفورم شد و انتخاب کلنی های حاوی ساختار pGEM-1009 بر اساس پدیده α -complementation صورت گرفت (تصویر ۱).

۷۱،۵۰۶۷،۲،۶۳،۹،۶۰،۵۹ و یک Extention ۳۵ ثانیه ای در دمای ۷۲ طراحی شد، در پایان این ۳۰ چرخه نیز یک Extention نهایی ۵ دقیقه ای در دمای ۷۲ درجه سانتیگراد در نظر گرفته شد.

کلونینگ محصول PCR در T.vector

محصول PCR (ژن موتانت فاکتور رشد فیبروبلاستی بازی انسانی) مستقیماً در پلاسمید pGEM-Teasy vector (Promega USA) کلون شد، این وکتور یک مولکول حلقوی دو رشته ای است که ۳۰۱۵ جفت باز طول دارد و در داخل ژن Lac Z یک بریدگی با دو انتهای چسبنده (Cohesive) دارد که به نوکلئوتید T ختم می



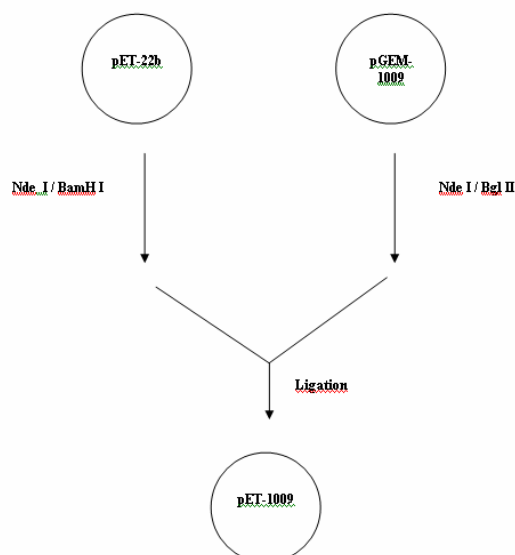
تصویر ۱- کلونینگ محصول PCR (ژن موتانت *hbfgf*) در T.vector و تشکیل ساختار pGEM-1009

ساب کلونینگ ژن موتانت *hbfgf* در پلاسمید بیانی pET-22b

پس از تأیید حضور ژن *hbfgf* در T.vector توسط هضم آنزیمی با آنزیم (EcoR I (Takara)، باکتری حاوی این پلاسمید جهت استخراج پلاسمید در مقیاس بالا کشت داده شد، پس از استخراج پلاسمید در مقیاس بالا این قطعه توسط هضم آنزیمی با آنزیم های Nde I (Takara) و Bgl II (Takara) از ساختار pGEM-1009 خارج شده و در پلاسمید بیانی pET-22b (Novagen) که تحت هضم آنزیمی با آنزیم های Nde I و BamH I (Takara) قرار گرفته بود، کلون گردید، ساختار نهایی pET-1009 نامگذاری شد (تصویر ۲). لازم به ذکر است که جایگاههای آنزیمی آنزیمهای Bgl II و Bam HI قادر به اتصال به یکدیگر هستند یا اصطلاحاً Complementary یکدیگر می‌باشند ولی بعد از اتصال این دو جایگاه به یکدیگر، هیچ کدام از دو آنزیم فوق‌الذکر قادر به برش این سکانس نمی‌باشند.

پدیده α -complementation

همانطور که ذکر شد پلاسمید pGEM-Teasy vector دارای ژن Lac Z می باشد که کد کننده آنزیم بتا گالاکتوزیداز است و این آنزیم پیوند گلیکوزیدی بین گالاکتوز و گلوکز را می شکند ، بنا براین شاخص انتخابی برای کلونی های حامل پلاسمید نوترکیب ، تولید یا عدم تولید آنزیم بتا گالاکتوزیداز است .با در نظر گرفتن این مساله که این پلاسمید دارای یک بریدگی در داخل ژن LacZ می باشد ، اگر Insert بتواند در داخل این بریدگی قرار گرفته و در پلاسمید کلون شود ، این وکتور دیگر در حضور ماده القاگر (IPTG) قادر به تولید آنزیم بتا گالاکتوزیداز نخواهد بود و در نتیجه توانایی شکستن سوبسترای کروموزنیک X-Gal را نخواهد داشت و کلونی ها به رنگ سفید دیده خواهند شد ، اما اگر Insert نتواند در شکاف قرار گیرد ، آنزیم لیگاز دو انتهای بریدگی در محل ژن LacZ را به یکدیگر متصل کرده و ژن Lac Z در حضور IPTG القا شده و آنزیم بتا گالاکتوزیداز تولید شده ماده بیرنگ X-Gal را شکسته و ماده آبی رنگی را تولید می کند ، بنابراین کلونی های فاقد پلاسمید نوترکیب به رنگ آبی دیده خواهند شد.



تصویر ۲- ساب کلونینگ ژن موتانت *hbfgf* در پلاسمید بیانی pET-22b و تشکیل ساختار pET-1009

***E. coli* OrigamiB(DE3)plysS**

این سویه ، سویه مشتق شده از *E. coli* K-12 است که دارای موتاسیون در ژنهای مربوط به تیروکسین ردوکتاز (*trxB*) و گلوکاتایون ردوکتاز (*gor*) می باشد که سبب افزایش تشکیل باندهای دی سولفیدی در سیتوپلاسم می شود. مطالعات نشان داده است که بیان در این سویه سبب افزایش folding پروتئین تا ۱۰ برابر نسبت به سایر سلولها می شود (۱۳).

***E. coli* BL21(DE3)PlysS**

متداول ترین میزبان بیانی از سویه های *E. coli* ، BL21 می باشد که بطور طبیعی در پروتئاز lon و بصورت مهندسی شده در پروتئاز Omp T نقص دارد ، به همین دلیل میزبانی منحصر بفرد برای تولید پروتئین نوترکیب و بقای آن در سلول می باشد (۱۴).

***E. coli* BL21(DE3) codonPlus-RIL**

گاهی ژن نوترکیب حاوی کدون هایی است که tRNA مربوط به آنها در *E. coli* کمیاب است ، به همین دلیل در ترجمه شدن ژن اختلال ایجاد خواهد شد . سویه جدیدی از *E. coli* به نام BL21(DE3) codonPlus-RIL ، حاوی وکتور سازگاری به نام ColE-1 همراه با ژنهای مربوط به tRNA اسید آمینه های آرژینین ، لوسین و ایزولوسین می باشد. بیان مربوط به این tRNA ها در این سویه ، به دلیل محدود نشدن ترجمه بوسیله کدون های نادر ، سبب افزایش سنتز پروتئین نوترکیب می شود (۱۴).

القا و بیان

سلولهای واجد ساختار pET-1009 و سلولهای اشیریشیا کلی واجد پلاسمید pET-1006 در محیط کشت LB واجد $50 \mu\text{g/ml}$ آمپی سیلین و در دمای 37°C کشت داده شدند. وقتی OD600 محیط کشت

تائید حضور ژن موتانت *hbfgf* در پلاسمید بیانی pET-22b

پس از ساب کلون کردن ژن موتانت *hbfgf* در پلاسمید بیانی pET-22b و ترنسفورماسیون محصول واکنش اتصال در باکتری *E. coli* سویه 'Top10f'، به منظور تسهیل انتخاب کلنی های حاوی پلاسمید نوترکیب (ساختار pET-1009) از تکنیک PCR استفاده گردید . این روش امکان بررسی سریع و همزمان تعداد زیادی از کلنی های رشد کرده بر روی پلیت ترنسفورماسیون محصول واکنش اتصال را فراهم می کند ، به این ترتیب که در این روش به جای استفاده از پلاسمیدهای استخراج شده به عنوان DNA الگو ، کلنی ها مستقیماً در واکنش PCR مورد استفاده قرار می گیرند. پرایمرهای مورد استفاده در این PCR همان پرایمرهای Forward و Reverse طراحی شده بودند . تمام کلونی های که نتیجه PCR آنها بیانگرو وجود ژن موتانت *hbfgf* در ساختار pET-1009 بود به منظور تائید نهایی کشت داده شدند و بعد از تخلیص پلاسمید تحت هضم آنزیمی با آنزیم های Hind III و Bgl II قرار گرفتند .

ترنسفورماسیون ساختار pET-1009 و pET-1006 به داخل میزبان های بیانی

هر دو ساختار pET-1009 (ژن موتانت *hbfgf* در پلاسمید pET-22b) و pET-1006 (cDNA- *hbfgf*) که در پروژه قبلی آقای دکتر میرزاحسینی در پلاسمید pET-22b کلون شده بود) بر اساس روش Cohen (۱۲) و استفاده از CaCl_2 و حرارت 42°C ، به داخل باکتری اشیریشیا کلی سویه های OrigamiB(DE3)plysS (Invitrogen) و BL21(DE3)PlysS (Invitrogen)، BL21(DE3) codonPlus-RIL(Stratagen) ترانسفورم شدند.

الکتريکی بر روی کاغذ نيترو سلولز سايز $0.2 \mu\text{m}$ (Schlechter & Schuell) انتقال داده شدند. برای جلوگیری از اتصال غيراختصاصی آنتی‌بادیها به سطح کاغذ نيترو سلولز، کاغذ به مدت ۱ ساعت در بافر PBS واجد آلبومین سرم گاوی (BSA ۰/۵٪) قرار داده شد. آنتی‌بادی اول که یک آنتی‌بادی خرگوشی ضد hbFGF (SIGMA) با رقت $OD_{600} = 0.5$ در بافر A (BSA 0.5% + PBS Tween 20) به کاغذ اضافه و به مدت یک شب در 4°C قرار داده شد (به همراه تکان دادن مداوم). بعد از ۳ بار شستشوی کاغذ با بافر A، آنتی‌بادی دوم، آنتی‌بادی بزی ضد آنتی‌بادی خرگوشی و متصل به آنزیم پراکسیداز (Horse Radish Peroxidase) (SIGMA)، با رقت ۱ به 3000 بر روی کاغذ اضافه و به مدت ۲ ساعت در دمای اتاق همراه با تکان دادن متوالی نگه داشته شد. بعد از شستشوی مجدد کاغذ با بافر A (۳ بار)، سوبسترای آنزیم پراکسیداز (0.5 mg/ml diaminobenzidine HCl + H_2O_2 0.01%) به کاغذ اضافه شد تا محل اتصال آنتی‌بادی ها به پروتئین hbFGF بر روی کاغذ با رنگ قهوه‌ای مشخص گردد.

تست الایزا

اندازه گیری دقیق تر hbFGF تولید شده بوسیله ساختار pET-1009 و pET-1006 در هر یک از میزبان های بیانی، در کنار نمونه کنترل منفی هریک، بوسیله کیت الایزا اختصاصی hbFGF ساخت شرکت R&D آمریکا انجام شد. بدین منظور در ابتدا با استفاده از OD450 به دست آمده از رقتهای مختلف استاندارد hbFGF موجود در کیت، منحنی استاندارد ترسیم و مقدار هریک از نمونه‌ها با قرار دادن OD450 نمونه در منحنی استاندارد به دست آمد.

نتایج

Site Directed Mutagenesis

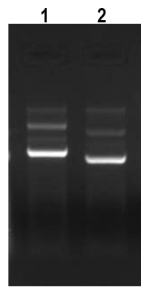
به حدود 0.5 mM IPTG رسید سلولها بوسیله القاء شدند. برای جلوگیری از تکثیر سلولهای فاقد پلاسمید تا ۴ ساعت پس از افزودن IPTG هر یک ساعت یک دوز 10 میکرولیتری آمپی سیلین به محیط های کشت اضافه شد، این عمل باعث ثابت ماندن نسبت سلولهای فاقد و واجد پلاسمید می شود. یک ساعت پس از افزودن آخرین دوز آمپی سیلین، سلولها بوسیله سانتریفوژ 10000rpm به مدت ۵ دقیقه رسوب گیری شده و تا رسیدن OD600 به 0.5 در بافر فسفات سدیم (PBS; pH=7) حل شدند. دیواره سلولی باکتریها ۳ بار و هر بار به مدت ۳۰ ثانیه بوسیله دستگاه سونیکاتور خرد شده تا پروتئین های محلول موجود در داخل باکتری آزاد شوند. در ادامه با استفاده از تکنیکهای SDS-PAGE و وسترن بلاتینگ وجود پروتئین hbFGF مورد بررسی قرار گرفت.

بررسی بیان پروتئین hbFGF با روش SDS-PAGE

مطابق با روش Laemmli (۱۵) به هریک از نمونه‌ها بافر لودینگ پروتئین (pH 6.8 و mM Tris.Cl ۱۰۰ و mM dithiothreitol ۲۰۰ و SDS ۴٪ و bromophenol blue ۰/۲ درصد و Glycerol ۲۰٪) اضافه و به مدت ۱۰ دقیقه در $^\circ\text{C}$ ۹۵ جوشانده شدند. سپس در کنار مارکر وزن مولکولی پروتئینی، بر روی ژل پلی اکریل آمید ۱۸٪ نمونه‌گذاری شده و در ولتاژ ۱۰۰ به حرکت درآمدند. در انتهای مسیر حرکت رنگ در ژل، ولتاژ قطع و ژل بوسیله رنگ کوماسی برلیانت بلو R250 رنگ‌آمیزی شد و یا این که بدون رنگ‌آمیزی، جهت انجام تست وسترن بلاتینگ مورد استفاده قرار گرفت.

وسترن بلاتینگ

بر اساس متد Towbin (۱۶)، پروتئین هایی که در مرحله قبل در داخل ژل SDS-PAGE بر اساس اندازه از یکدیگر جدا شده بودند، با استفاده از ولتاژ

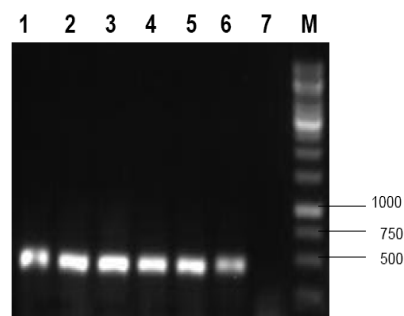


تصویر ۴- الکتروفورز ژل آگارز ۱٪ محصول استخراج پلاسمید کلنی های سفید و آبی. ستون ۱: پلاسمید استخراج شده از کلنی سفید رنگ. ستون ۲: پلاسمید استخراج شده از کلنی آبی رنگ. به دلیل حضور پلاسمید نوترکیب pGEM-1009 در کلنی سفید، باند مربوط به آن کمی بالاتر از باند پلاسمید کلنی آبی قرار دارد که این خود تایید کلون شدن ژن موتانت *hbfgf* در T-vector می باشد.

تائید حضور ژن موتانت *hbfgf* در T.vector

به منظور تائید حضور ژن موتانت *hbfgf* در T.vector پلاسمیدهای استخراج شده تحت هضم آنزیمی با آنزیم EcoR I قرار گرفتند و محصول هضم آنزیمی در کنار مارکر وزن مولکولی DNA روی ژل آگارز ۱٫۵٪ بارگذاری شد. در صورت کلون شدن ژن موتانت *hbfgf* در T.vector، یک باند ۴۵۰ جفت بازی مربوط به ژن موتانت *hbfgf* و یک باند ۳ کیلو جفت بازی مربوط به لاشه وکتور دیده خواهد شد در غیر این صورت تنها یک باند ۳ کیلو جفت بازی دیده خواهد شد (تصویر ۵). پس از تائید حضور ژن موتانت *hbfgf* در T.vector، این ژن توسط آنزیمهای Nde I و Bgl II از ساختار pET-1009 خارج شد.

با استفاده از پرایمرهای Forward و Reverse طراحی شده و ساختار pET-1006 به عنوان DNA الگو، Gradient PCR انجام شد. در صورت اتصال صحیح پرایمرها، ژن موتانت *hbfgf* به صورت یک باند ۴۵۰ جفت بازی در ژل آگارز دیده خواهد شد. در این پژوهش این باند در کلیه دماهای طراحی شده بخوبی قابل رویت بود که حاکی از تکثیر موفقیت آمیز ژن موتانت *hbfgf* بود (تصویر ۳).



تصویر ۳- الکتروفورز ژل آگارز ۱٪ محصول PCR (گرادیانت دمای Annealing). ستون ۱: دمای ۵۹ °C، ستون ۲: دمای ۶۰/۹ °C، ستون ۳: دمای ۶۳/۹ °C، ستون ۴: دمای ۶۷/۲ °C، ستون ۵: دمای ۷۰ °C، ستون ۶: دمای ۷۱/۵ °C، ستون ۷: نمونه Blank. وجود باند ۴۵۰ bp بیانگر اتصال صحیح پرایمرها می باشد.

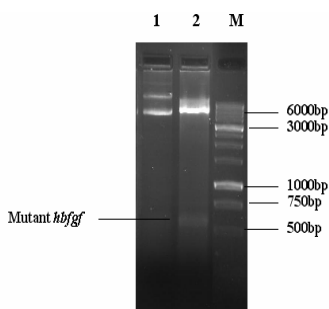
کلونینگ محصول PCR در T.vector

پس از کلون کردن ژن موتانت *hbfgf* در T.vector و ترانسفورماسیون ساختار pGEM-1009 در باکتری اشرشیا کلی سویه Top10f (Invitrogen) و انتخاب کلنی های سفید بر اساس پدیده α -complementation یا غربالگری سفید آبی، این کلنی ها همراه با یک کلنی آبی به عنوان کنترل منفی جهت استخراج پلاسمید کشت داده شدند (تصویر ۴).

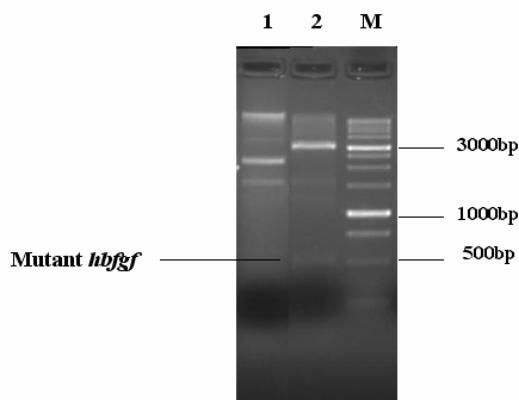
تمام کلونی های که نتیجه PCR آنها بیانگر وجود ژن موتانت *hbfgf* در ساختار pET-1009 بود به منظور تأیید نهایی کشت داده شدند و بعد از تخلیص پلاسمید تحت هضم آنزیمی با آنزیم های Bgl II و Hind III قرار گرفتند و سپس در کنار مارکر وزن مولکولی DNA روی ژل آگارز ۱.۵٪ بارگذاری شدند. در صورت حضور ژن موتانت در ساختار pET-1009 یک باند ۵۷۹ جفت بازی مربوط به ژن موتانت *hbfgf* و بخشی از وکتور و یک باند ۶ کیلو جفت بازی مربوط به لاشه وکتور دیده خواهد شد در غیر این صورت تنها یک باند ۶ کیلو جفت بازی دیده خواهد شد (تصویر ۷).

مقایسه بیان دو ژن موتانت و وحشی

هر دو ساختار واجد ژنهای موتانت و وحشی (pET-1009 و pET-1006) به داخل سه سویه از باکتری اشریشیا کلی شامل BL21(DE3)PlysS, OrigamiB(DE3)plysS و BL21(DE3) codonPlus-RIL ترانسفورم شده و برای بررسی میزان تولید محصول هر ساختار در باکتری اشریشیا کلی از تکنیکهای SDS-PAGE (تصویر ۸) و وسترن بلاتینگ (تصویر ۹) استفاده گردید.



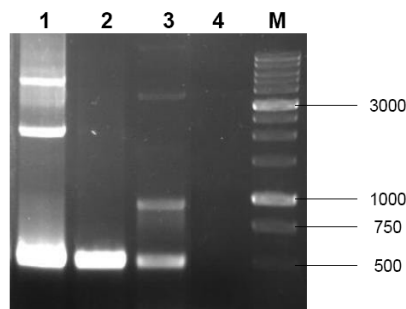
تصویر ۷- الکتروفورز ژل آگارز ۱.۵٪ محصول هضم آنزیمی ساختار pET-1009 با آنزیمهای Bgl II و Hind III.



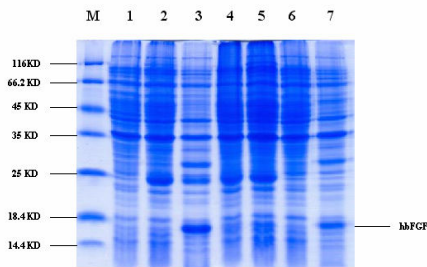
تصویر ۵- الکتروفورز ژل آگارز ۱.۵٪ محصول هضم آنزیمی ساختار pGEM-1009 با آنزیم EcoR I.

تأیید حضور ژن موتانت *hbfgf* در پلاسمید بیانی pET-22b

پس از ساب کلون کردن ژن موتانت *hbfgf* در پلاسمید بیانی pET-22b و ترانسفورماسیون محصول واکنش اتصال در باکتری *E. coli* سویه 'Top10f'، به منظور تسهیل انتخاب کلنی های حاوی پلاسمید نو ترکیب (ساختار pET-1009) از تکنیک PCR استفاده گردید (تصویر ۶).

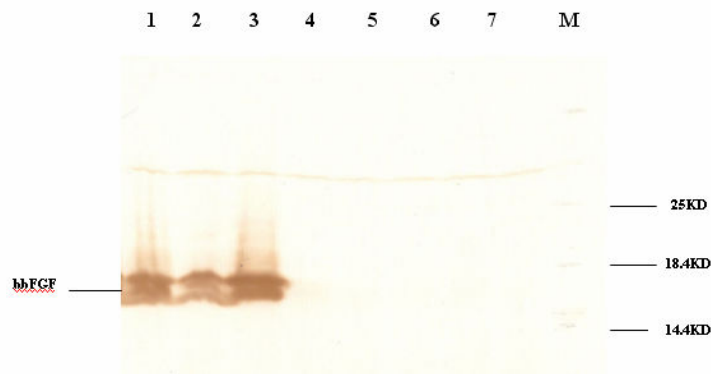


تصویر ۶ - الکتروفورز ژل آگارز ۱٪ محصول PCR، ستون ۱: کنترل مثبت PCR (pGEM-1009)، ستون ۲: پلاسمید pET-1009، ستون ۳: کلنی مشکوک به دارا بودن ساختار pET-1009. ستون ۴: کنترل منفی (بدون DNA الگو). وجود باند ۴۵۰ جفت بازی در ستونهای ۲ و ۳ همانند کنترل مثبت (ستون ۱) مویید حضور ساختار pET-1009 در کلنی انتخاب شده است.



تصویر ۸- SDS-PAGE ستون ۱: OrigamiB(DE3)PlysS بدون پلاسمید(نمونه ی منفی) ستون ۲: BL21CodonPlus(DE3)-RIL- pET-1009, ستون ۳: BL21CodonPlus(DE3)-RIL-pET-1006, ستون ۴: BL21(DE3)PlysS-pET-1009, ستون ۵: BL21(DE3)PlysS-pET-1006, ستون ۶: OrigamiB(DE3)PlysS-pET-1009, ستون ۷: OrigamiB(DE3)PlysS-pET-1006

نتایج حکایت از تولید محصول توسط cDNA-*hbfgf* (ساختار pET-1006) در هر دو آزمایش SDS-PAGE و وسترن بلاتینگ می‌کند. بالعکس هیچ باند مشخصی در مورد محصول ژن موتانت(ساختار pET-1009) در این دو آزمایش مشخص نگردید. همانطور که در تصویر دیده می‌شود، سلول BL21CodonPlus(DE3)-RIL-pET-1006 (ستون ۳) بیشترین میزان *hbFGF* را بیان نموده است و میزان بیان *hbFGF* در ساختار pET-1009 ناچیز می‌باشد.



تصویر ۹- Western Blotting. ستون ۱: OrigamiB(DE3)PlysS-pET-1006, ستون ۲: BL21(DE3)PlysS-pET-1006, ستون ۳: BL21CodonPlus(DE3)-RIL-pET-1006, ستون ۴: OrigamiB(DE3)PlysS-pET-1009, ستون ۵: BL21(DE3)PlysS-pET-1009, ستون ۶: BL21CodonPlus(DE3)-RIL-pET-1009, ستون ۷: OrigamiB(DE3)PlysS بدون پلاسمید.

ضرب کردن آن در مخرج کسر رقت هر نمونه، مقدار هورمون برای هر یک مشخص شد(جدول ۲). ستونهای دوم، سوم و چهارم این جدول به ترتیب مربوط به کسر رقت، عدد OD450 و بالاخره مقدار محاسبه شده برای هر شش نمونه می‌باشند. تفاوت فاحش مقدار هورمون ما بین ساختار pET-1006 و pET-1009 را به وضوح در این جدول نیز می‌توان دید.

بحث

مقایسه ساختارها از لحاظ میزان بیان *hbFGF*

در مورد آزمایش الایزا، که دارای حساسیت (sensitivity) بسیار بالاتری نسبت به تستهای SDS-PAGE و وسترن بلاتینگ است، نتایج روشن تری بدست آمد. در ابتدا با استفاده از ارقام بدست آمده از سنجش OD450 نمونه استاندارد *hbFGF* در غلظتهای مختلف، یک منحنی استاندارد ترسیم گردید. سپس با قرار دادن O.D450 حاصله از هر یک از سوشها در منحنی استاندارد، عددی به دست آمد که با

میزان تولید محصول این دو ساختار تفاوت قابل ملاحظه ای با یکدیگر داشت به طوری که در بررسی‌ها توسط SDS-PAGE و وسترن بلاتینگ عملاً باند مشخصی برای محصول ژن موتانت مشاهده نشد در حالی که در مورد *cdNA-hbfgf* باندهای مربوطه بسیار مشخص و دارای شدت رنگ بالایی بودند (تصاویر ۸ و ۹). با توجه به اینکه تا مرحله بعد از رونویسی ژن (Transcription یا ساخت mRNA) شرایط هر دو ژن از لحاظ نوع پروموتور، پلاسمید و باکتری اشریشیاکلی مشابه در نظر گرفته شده بود، این اختلاف فاحش در میزان بیان دو ژن را می‌توان به دو عامل ارتباط داد(۱۷):

هدف از این مطالعه بررسی تاثیر جایگزینی کدون های نادر ناحیه شروع ترجمه ژن *hbfgf* با کدون های بهینه بر میزان بیان این فاکتوردر مقایسه با ژن وحشی درباکتری اشریشیا کلی بود، به این منظوریک پرایمر بلند۵۹ نوکلئوتیدی با ۵ کدون تغییریافته که در مقایسه با ژن وحشی آمینو اسید های یکسانی را کد می کردند طراحی شد ، این پرایمر ناحیه شروع ترجمه را به منظور مطالعه تاثیر جایگزینی کدون های نادر با کدون های بهینه تغییر داد ، ژن تغییر یافته و وحشی هر یک بطور جداگانه در وکتور بیانی(pET-22b) ساب کلون شدند(ساختارهای pET-1009 و pET-1006) ، ساختارهای حاصل به داخل ۳ سویه از باکتری اشریشیا کلی ترنسفورم شدند ،

جدول ۲- تایج تست الایزا.

Construct	Dilution rate	OD (450)nm	Volume(mg/L)
OrigamiB(DE3) plysS pET-1006	1/10000000	0.392	1.1
OrigamiB(DE3) plysS pET-1009	1/10000000	0.186	0.52
BL21(DE3)PlyS pET-1006	1/10000000	0.371	0.9
BL21(DE3)PlyS pET-1009	1/10000000	0.172	0.48
BL21CodonPlus(DE3)-RIL pET-1006	1/10000000	0.463	1.3
BL21CodonPlus(DE3)-RIL pET-1009	1/10000000	0.195	0.54

باید توجه داشته باشیم که این دو ژن دارای سکانس و در نتیجه mRNA های متفاوت می‌باشند. تفاوت در سکانس mRNA الزاماً منتج به تفاوت در ساختمان ثانویه (Secondary Structure) mRNA و نیز تفاوت در حساسیت این ساختمانهای ثانویه به اگزونوکلئازها می‌گردد. به طور طبیعی mRNA ها در هر نوع سیستم پروکاریوتی یا

تفاوت در پایداری (Stability of the mRNA) یا تفاوت در نیمه عمر (half life)

(۱) تفاوت در کارآمدی mRNA برای ترجمه (Efficiency of Translation)

باعث افزایش تولید شود و از سوی دیگر با مشکل کردن اتصال ریبوزومها به توالی (ribosome binding site) rbs ممکن است باعث کاهش تولید گردند (۲۱). به نظر می رسد بالاترین سطح بیان زمانی حاصل می شود که ساختار دوم ناحیه شروع ترجمه به گونه ای باشد که توالی شاین دالگارنو، کدون شروع (AUG) و توالیهای پایین دست آن در نواحی دو رشته ای mRNA پنهان نشده باشند (۲۲).

به منظور کاهش پایداری ساختار دوم mRNA و در نتیجه نمایان شدن توالیهای نامبرده استراتژی های مختلفی بکار گرفته شده است که از آنجمله می توان به Codon Optimization یا Codon Replacement در توالیهای پایین دست کدون شروع در ناحیه شروع ترجمه اشاره کرد. در سالهای اخیر توجه ویژه ای به این استراتژی شده است و آزمایشهای مختلفی بر اساس آن طراحی شده است که از آن جمله می توان به موارد زیر اشاره کرد.

Ronaldo B. Quaggio و همکارانش در سال ۱۹۹۲ کدون های نادر اسید آمینه آرژنین در موقعیتهای هشتم و نهم cDNA پروتئین تروپونین I ماهیچه اسکلتی مرغ را که در باکتری اشرشیا کلی کلون شده بود با کدونهای اپتیمم این اسید آمینه جایگزین کردند، نتیجه این جایگزینی سطح بالایی از بیان این پروتئین را در باکتری اشرشیا کلی نشان داد (۸). در سال ۱۹۹۸ گروهی دیگر از دانشمندان با جایگزینی کدونهای نادر ۸۸ کدون آغازین ژن زیر واحد آلفای پروتئین فارتزیل ترنسفرز (FTPase) موفق به دستیابی به سطوح بالایی از این پروتئین نوترکیب در باکتری اشرشیا کلی گردیدند (۹). طی مطالعات David L. Lakey در سال ۲۰۰۰، جایگزینی ۵ کدون نادر در ژن وحشی آنتی ژن 85B مایکوباکتریوم توبرکلوزیس، منجر به افزایش ۵۴ برابری تولید این پروتئین نوترکیب در باکتری اشرشیا کلی شد (۱۰). Seonghun Kim و همکارانش در سال ۲۰۰۶ دو کدون نادر انتهای 5' ژن Sso_gnaD از باکتری سولفولوبوس سولفاتاریکوس را

یوکاریوتی دارای نیمه عمرهای متفاوت می باشند که ساختمان ثانویه mRNA و در نتیجه استعداد تخریب آنها به وسیله نوکلئازها در این زمینه تعیین کننده است (۱۸). عامل دوم یعنی اختلاف در کارآمدی mRNA ها برای ترجمه نیز در واقع ارتباط نزدیکی با عامل اول دارد. ساختار دوم mRNA یک فاکتور کلیدی در تعیین کارایی شروع ترجمه در پروکاریوتهاست، به نظر می رسد بیان ژنهای متعدد در باکتری اشرشیا کلی بطور معکوس با پایداری ساختار دوم ناحیه شروع ترجمه mRNA آنها ارتباط داشته باشد، به عبارت دیگر کارایی ترجمه مستقیماً بوسیله در دسترس بودن unfolded TIR تعیین می شود (۱۹). ناحیه شروع ترجمه در اشرشیا کلی به عنوان توالی شاین دالگارنوبا یک فاصله مناسب از کدون شروع با ۶ نوکلئوتید اضافی به ترتیب در بالا دست و پایین دست هر یک از این عناصر تعریف می شود (۲۰). ژنهای یوکاریوتی در باکتری اشرشیا کلی، ناحیه شروع ترجمه فعالی ندارند لذا هر گونه تغییر و جایگزینی نوکلئوتیدها در این ناحیه در صورت تغییر در پایداری ساختار دوم آن بدون توجه به موقعیت آن تغییر در ساختار سنجاق سری بر بیان ژنهای خارجی در اشرشیا کلی اثر می گذارد (۱۹ و ۲۰). دیده شده که علاوه بر توالی شاین دالگارنو توالی دیگری در ناحیه شروع ترجمه که در پایین دست کدون شروع قرار گرفته است، مکمل بخشی از توالی 16s rRNA در زیر واحد 30s ریبوزوم می باشد، وجود و مکمل بودن هر چه بیشتر این توالی باعث افزایش پایداری کمپلکس mRNA-ریبوزوم و در نتیجه افزایش کارایی ترجمه می شود (۲۰). چرا که از یک طرف باعث افزایش اتصال ریبوزومها بطور متوالی به mRNA می شود (تشکیل پلی زوم) و از طرف دیگر mRNA را از دسترس اگزونوکلئازها دور نگه می دارد و در نتیجه می توان تولید محصول بیشتر را انتظار داشت. به علاوه اینکه ایجاد ساختمانهای ثانویه به هم پیچیده تر و پایدارتر به خصوص در ناحیه شاین دالگارنو (SD) mRNA از یک سو می تواند با کاهش دادن دسترسی نوکلئازها

نتیجه گیری

نتایج بدست آمده بیانگر جلوگیری از شروع ترجمه کارآمد توسط ساختارهای ثانویه پایدار در ناحیه ۵' از mRNA می باشد و تاکید به این نکته دارد که می بایست در طراحی ژن سنتتیک برای افزایش بیان در *E. coli*، ساختارهای ثانویه mRNA و نقش مهم آنها را در بیان ژن در نظر گرفت.

با کدونهای اپتیمم جایگزین کردند، این ژن تغییر یافته در باکتری اشرشیا کلی سطوح بالاتری از بیان را نشان داد (۱۱). در مقابل موارد ذکر شده، طی مطالعه Xiaoqiu Wu و همکارانش در سال ۲۰۰۳، جایگزینی اکثریت کدونهای نادر در ژن پروتئین شبه هیستونی (Ssh10) باکتری سولفولوبوس شیباتا و پروتئین شبه گلوتارودوکسین (mtGrx) از باکتری متانوباکتریوم ترمواتوتروفیکوم منجر به کاهش چشمگیری در میزان بیان این پروتئینها شد (۲۳).

منابع مورد استفاده

- Mergia, A., 1986. The gene for basic and acidic fibroblast growth factor are on different human chromosomes. *Biochem. Biophys Res Commun* 138: 644-651.
- Lafage-Pochitaloff, M., 1990. The human basic fibroblast growth factor gene is located on the long arm of chromosome 4 at bands q26-q27. *Oncogene Res* 5: 241-244.
- Abraham, J. A., 1986. Human basic fibroblast growth factor: nucleotide sequence and genomic organization. *EMBO J* 5: 2523-25 28.
- Kurokawa, T., 1987. Cloning and expression of cDNA encoding human basic fibroblast growth factor. *FEBS Lett* 213: 189-194.
- Arnaud, E., 1999. A new 34-kiloDalton isoform of fibroblast growth factor 2 is cap dependently synthesized by using a non-AUG start codon and behaves as a survival factor. *Mol Cell Biol* 19: 505-514
- Yosuke, O., 2000. Disruption of the fibroblast growth factor-2 gene results in decreased bone mass and bone formation. *Clin Invest* 105: 1085-1093.
- Mignatti, P., 1991. Basic fibroblast growth factor released by single isolated cells stimulate their migration in an autocrine manner. *Proc. Natl Acad Sci USA* 88: 11007-11011.
- Ronaldo, B., Quaggio, Jesus A., Ferro, Patricia, B., Monterio, and Fernando C., Reinach. 1993. Cloning and expression of chicken skeletal muscle troponin I in *Escherichia coli*: The role of rare codons on the expression level. *Protein Science* 2:1053-1056.
- Zimmerman, K, K., Scholten, J, D., Huang, C. C., Fierke, C. A., Hupe, D. J., 1998. High level expression of rat farnesyl protein transferase in *Echerichia coli* as a translationally coupled heterodimer. *Protein Expression and Purification* 14:395-402.
- David, L., Lakey, Rama K. R., Voladri, Kathryn M., Edwards, Cynthia Hager, Buka Samten, Robert, S., Wallis, Peter F., Barnes, Douglas, S., Kernodle 2000. Enhanced production of recombinant *Mycobacterium tuberculosis* antigens in *Escherichia coli* by replacement of Low-usage codons. *Infection and Immunity*. 20: 233-238.
- Seonghun Kim, sun Bok Lee., 2006. Rare codon clusters at 5'-end influence heterologous expression of archaeal gene in *Escherichia coli*. *Protein Expression and Purification*. 50:49-57.
- Cohen, S, N., 1972 Nonchromosomal antibiotic resistance in bacteria: Genetic trasformation of *Escherichia coli* by R-factor DNA. *Proc Nath Acad Sci* 69: 2110.

13. Bessette P, H., Åslund, F., Beckwith, J., Georgiou, G., 1999. Efficient folding of proteins with multiple disulfide bonds in the *Escherichia coli* cytoplasm. *Proc Natl Acad Sci* 96:13703-13708.
14. Grodberg, J., Dunn, J, J., 1988. OmpT encodes the *Escherichia coli* outer membrane protease that cleaves T7 RNA polymerase during purification. *J Bacteriol* 170:1245-1253
15. Laemmli, U, K., 1970. Cleavage of structural proteins during the assembly of the head of bacteriophage T4. *Nature* 227: 680-685.
16. Tobin, H., 1979. Electrophoretic transfer of proteins from polyacrylamide gels to nitrocellulose sheets: Procedure and some applications. *Proc Natl Acad Sci* 76: 4350.
17. Thomas, G., von Gabian, A., Nilsson, G., Andersson, M., Lundstrom, M., Lund, B. and Lundgren, E., 1987. Expression of an interferon- α gene variant in *E. coli* using tandemly repeated synthetic ribosomal binding sites. *DNA*. 6: 41-46.
18. Nivinskas, R., 1999. Post-transcriptional control of bacteriophage T4 gene 25 expression: mRNA secondary structure that enhances translational initiation. *J Mol Biol* 288: 291-303.
19. Maarten, H., DE S., Van Duin, J., 1990. Secondary structure of the ribosome binding site determines translational efficiency: A quantitative analysis. *Proc Natl Acad Sci* 87: 7668-7672.
20. Michael, L., Sprengart, Hans P. Fatscher and Eckart Fuchs 2000. The initiation of translation in *E.coli*: apparent base pairing between the 16srRNA and downstream sequences of the mRNA. *Nucleic Acids Research* 18: 1719-1723.
21. Gross, G., Hollatz, I., 1988. Coliphage lambda terminator lowers the stability of mRNA in *E.coli* hosts. *Gene* 10: 119-128.
22. Clive, R., Wood, M., Boss, A., Thakor, P., Spencer E, J., 1984. The influence of messenger RNA secondary structure on expression of an immunoglobulin heavy chain in *Escherichia coli*. *Nucleic Acids Research* 12: 3937-3950.
23. Xiaoqiu W, U., Hans, J., Kurt, D., Berndt, U, O., 2004. Codon optimization reveals critical factors for high level expression of two rare codon genes in *Escherichia coli*: RNA stability and secondary structure but not tRNA abundance. *Biochemical & Biophysical Research communications* 313: 89-96.